



LB 9001

Detalle de pizarras
del C.E.G. en donde
se observan claramen-
te la S_0 y S_1 -



LB 9002

Detalle de secuencia T_{b-d} con laminación paralela y ripples,
en materiales lutíticos (9) del Precámbrico Superior.



LB 9003

Panorámica de la discordancia entre la "cuarcita armónica" del Ordovícico Inf. (1) y las cuarcitas, microconglomerados y pizarras (2), del Precámbrico Superior.



LB 9004

Detalle de niveles cuarcíticos del tramo de pizarras, are
niscas y cuarcitas (1) del Ordovícico Inferior.



LB 9005

Detalle de "cuarcita armorcana" (12) del Ordovícico - Inferior.



LB 9006

Detalle de repliegues tar-
dihercínicos con planos axia-
les de dirección N 40° E/90°
observados en las pizarras
(13) del Ordovícico Medio.



SAN JUAN DE ANTONIO

LB 9007

Vista parcial de intercalaciones de areniscas y cuarcitas
en pizarras grises (13) del Ordovícico Medio.



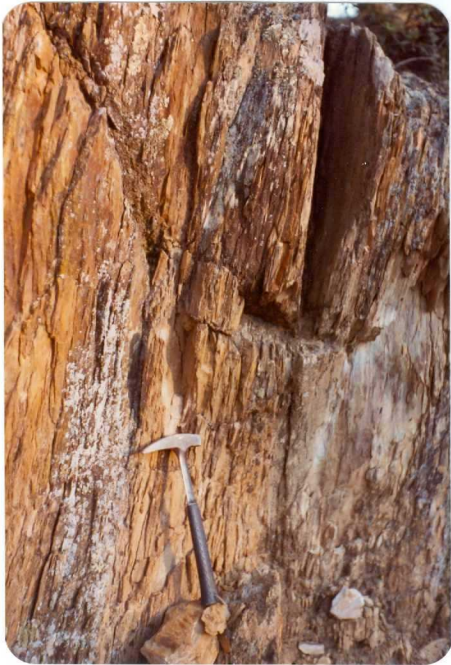
LB 9008

Vista parcial de cuarcitas del Ordovício Medio-Superior (14)



LB 9009

Detalle de ripples en areniscas del Ordovícico Medio-Superior
(14)



LB 9010

Detalle la S_0 y S_1 en pizarras del Ordovícico Superior (15), en el flanco Sur invertido de la estructura paleozoica.



LB 9011

Detalle de las cuarcitas del Silúrico Inferior (16)



LB 9012

Panorámica del Sinclinal paleozoico en las Sierras de la Solana-Madre del Agua

- Cuarcita armónica (1). Ordovícico Inf.
- Pizarras con intercalaciones de cuarcitas (2). Ordovícico Medio
- Cuarcitas (3). Ordovícico Medio-Superior
- Pizarras (4). Ordovícico Superior
- Cuarcitas (5). Silúrico Inferior
- Pizarras, areniscas y pizarras ampelíticas (6). Silúrico Inferior.



LB 9013

Panorámica del Sinclinal paleozoico al N. de la Sierra Alta

- "Cuarcita armoricana" (1). Ordovícico Inf.
- Pizarras con intercalaciones de cuarcitas (2). Ordovícico Medio
- Cuarcitas (3). Ordovícico Medio-Superior
- Pizarras (4). Ordovícico Superior
- Coluvión (5). Cuaternario



LB 9014

Vista parcial de los depósitos miocenos de la Cuenca de
Moraleja (20)

LB 9015

Detalle de cantos cuarcíticos en la foto anterior.





LB 9016

Vista parcial de arcillas, limos y arenas micáceas (19) de
la Cuenca de Coria



LB 9017

Detalle de niveles arcillosos con escamas de peces de la foto anterior.



LB 9018

Panorámica de arcósas micáceas (19) procedentes de la demudación del batolito de Zarza la Mayor-Ceclavín.



LB 9019

Detalle de la foto anterior



LB 9020

Detalle del canturrial cuarcítico de la terraza
superior del Río Alagón (Cabeza de la Brama).



LB 9021

Panorámica de los diferentes niveles de terrazas en la zona de Coria.



LB 9022

Panorámica de las superficies de terrazas (27) al E. de Casillas de Coria

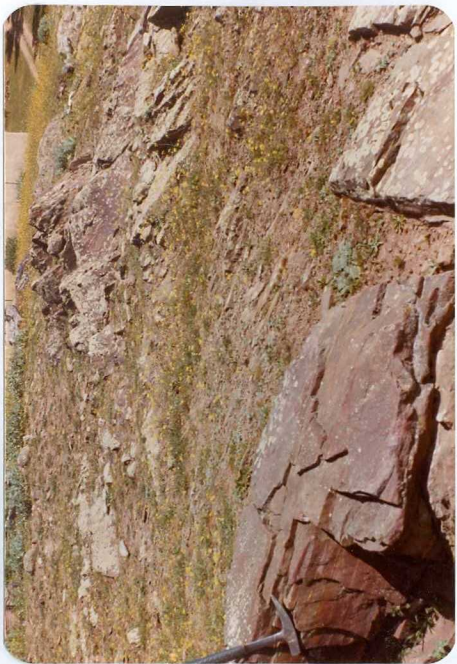


LB 9023

Detalle de coluvión de cantos cuarcíticos (32)

LB 9024

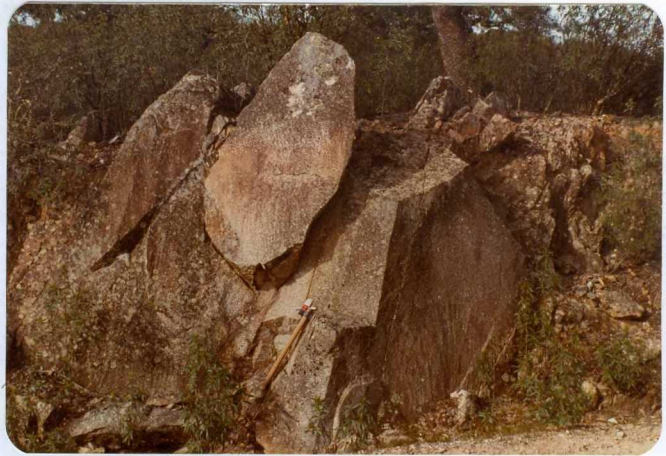
Vista parcial de las comeanas del metamorfismo de contacto (1)





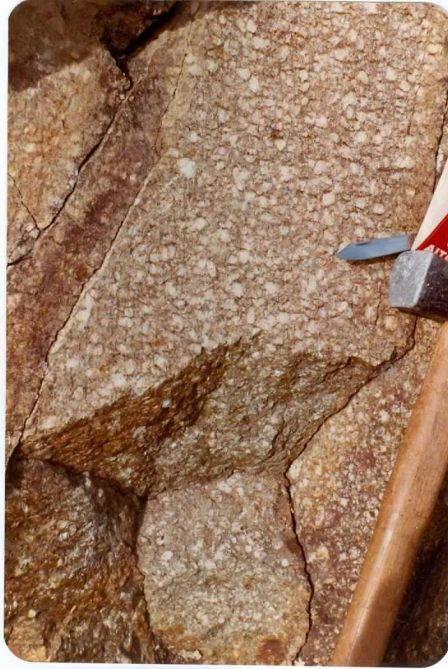
LB 9025

Detalle de la S_0 y S_1 de la foto anterior



LB 9026

Vista parcial de dique de pórfido diorítico (2) en la
c.c. de Zarza la Mayor a Moraleja



LB 9027

Detalle de la foto anterior



LB 9028

Detalle de granitos mosco-
víticos de grano grueso (6)
del batolito de Zarza la -
Mayor-Ceclavín



LB 9029

Panorámica de materiales del C.E.G. con metamorfismo de contacto (1). Al fondo granitos moscovíticos de grano grueso (2).



LB 9030
Mina de La Paloma. Explotación de wolframio abandonada.



LB 9031

Mina de la Paloma. Exploración de volframio abandonada.

Ciudad Real en las bocas



LB 9032

Panorámica de la superficie de erosión de las tonalitas biotíticas (5). Los cerros del fondo corresponde a las facies aplíticas (7).



LB 9033

Panorámica de bolos originados por disyunción en las tonalitas biotíticas (5).



LB 9034

Panorámica del batolito de Ceclavin-Zarza la Mayor

1.- Granito moscovítico de grano grueso

2.- Tonalitas biotíticas

3.- Zona de cizallamiento dúctil de dirección

N 110° E.